



## بررسی تجربی زبری سطح حاصل از میکروفرز کاری آلیاژ Ti6Al4V تحت شرایط روان-کاری و خنک کاری مختلف

حامد حسنپور<sup>۱</sup>، امیر راستی<sup>۱</sup>، محمدحسین صادقی<sup>۲\*</sup>، جواد هاشمی خسروشاهی<sup>۳</sup>

۱- دانشجوی دکتری، مهندسی مکانیک، دانشگاه تربیت مدرس، تهران

۲- استاد، مهندسی مکانیک، دانشگاه تربیت مدرس، تهران

۳- دانشجوی کارشناسی ارشد، مهندسی مکانیک، دانشگاه تربیت مدرس، تهران

\* تهران، صندوق پستی ۱۴۰۱۵-۱۴۳ sadeghim@modares.ac.ir

### چکیده

میکروفرز کاری روشی مناسب به منظور ساخت قطعات مینیاتوری با هندسه سه بعدی پیچیده است. این روش کاربرد بسیاری در تولید قطعات میکرو در تجهیزات پزشکی دارد. آلیاژهای تیتانیومی به دلیل نسبت مقاومت به وزن بالا، مقاومت به خوردگی عالی و همچنین زیست سازگاری مناسب، به صورت گسترده در کاربردهای پزشکی استفاده می‌شوند. بد لیل ساخت قطعات میکرو در این پلتforma و تجهیزات پزشکی، مطالعه و بررسی میکروفرز کاری آلیاژهای تیتانیومی اهمیت بسیاری یافته است. در این مطالعه نیز زبری سطح حاصل از فرآیند میکروفرز کاری در آلیاژ Ti6Al4V مورد بررسی قرار گرفته است. سرعت دورانی اسپیندل، نرخ پیشروی و عمق برش محوری به عنوان متغیرهای برش در نظر گرفته شدند. عملیات میکروفرز کاری تحت سه سیستم روان کاری و خنک کاری مختلف مشتمل بر حالاتی خشک، تر و حداقل سیال برشی انجام یافت. ابزار فرز انگشتی کاربایدی سرتخت به قطر ۰/۵ میلی‌متر با روکش TiAIN اسقفاده شد. از روش تاگوچی برای طراحی و تحلیل آزمایش استفاده گردید. نتایج نشان داد که زبری سطح در حضور سیستم حداقل سیال برشی، کمترین مقدار را دارد. همچنین مستقل از نحوه روان کاری و خنک کاری، افزایش سرعت برشی و نرخ پیشروی، زبری سطح را کاهش داد. مینیمم زبری سطح بدست آمده برابر با ۱۱۸ nm بوده که در شرایط سرعت دورانی ۳۰۰۰ rpm، پیشروی ۰/۸ میکرومتر بر لبه برنده و عمق برش ۶۰ میکرومتر حاصل شده است.

**کلیدواژگان:** میکروفرز کاری، زبری سطح، آلیاژ تیتانیوم Ti6Al4V، روان کاری و خنک کاری

## An experimental investigation of surface roughness produced by micromilling of Ti6Al4V alloy under different lubrication and cooling conditions

Hamed Hassanpour, Amir Rasti, Mohammad Hossein Sadeghi\*, Javad Hashemi

Department of Mechanical Engineering, Tarbiat Modares University, Tehran, Iran  
\* P.O.B. 14115-143, Tehran, Iran. sadeghim@modares.ac.ir

### ABSTRACT

Micromilling is a suitable method for fabrication of miniature parts with 3D complex geometries. This method has wide applications in fabricating of medical micro tools. Titanium alloys were used in medical applications extensively due to their high strength-to-weight ratio, corrosion resistance and biocompatibility. Owing to the fabricating of micro parts in implants and medical tools, studying the micromilling of titanium alloys becomes more important. In this study, the surface roughness produced by micromilling of Ti6Al4V alloy is investigated. Spindle speed, feed rate and axial depth of cut have been considered as cutting parameters. Micromilling has been done with three lubricating and cooling conditions: dry, wet and minimum quantity lubrication (MQL). TiAlN coated carbide micro-end mill tool with the diameter of 0.5mm were used. Taguchi method has been used to design and analyze the experiments. The results showed that the surface roughness is minimized by the use of the minimum quantity of lubricant. Surface roughness decreased with the increase in cutting speed and feed, regardless of the lubrication and cooling condition. The minimum surface roughness was 118 nm in the condition of spindle speed= 30000 rpm, feed rate= 0.8 µm/tooth and depth of cut= 60 µm.

**Keywords:** Lubrication and Cooling, Micromilling, Surface Roughness, Ti6Al4V Titanium Alloy

با این تفاوت که که از یک ابزار دوار به قطر ۵۰۰-۵۰۰ میکرومتر و شعاع نوک ۱-۱۰ میکرومتر استفاده می‌کند. با کوچک شدن مقیاس ماشین کاری از ماکرو به میکرو، ضخامت براده نتراشیده در حد شعاع لبه برنده ابزار کاهش پیدا می‌کند و لبه برنده را دیگر نمی‌توان تیز در نظر گرفت [۱]. تاکنون معیار مناسبی برای مقایسه قابلیت میکروماسین کاری مواد مختلف منتشر نشده

### ۱- مقدمه

میکروفرز کاری یکی از فرآیندهای مستقیم و کم هزینه برای ساخت قطعات مینیاتوری با جنس‌های مختلف و اشکال پیچیده سه بعدی می‌باشد که دارای نرخ تولید بالاتری در مقایسه با سایر روش‌های موجود نظری تکنولوژی‌های لیتوگرافی است. اصول میکروفرز کاری مشابه عملیات فرز کاری معمولی است.

برای ارجاع به این مقاله از عبارت ذیل استفاده نمایید:

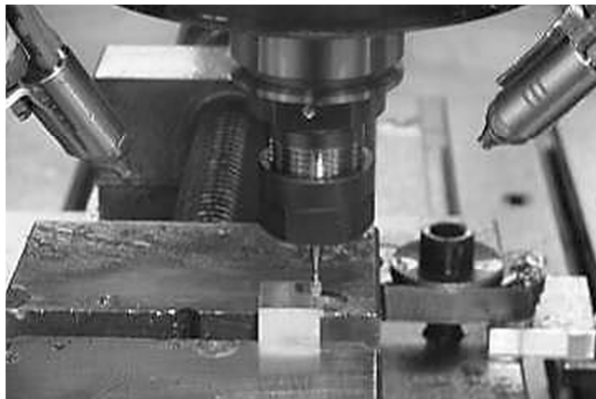
H. Hassanpour, A. Rasti, M.H. Sadeghi, J. Hashemi An experimental investigation of surface roughness produced by micromilling of Ti6Al4V alloy under different lubrication and cooling conditions, Modares Mechanical Engineering, Proceedings of the Advanced Machining and Machine Tools Conference, Vol. 15, No. 13, pp. 78-81, 2015 (in Persian) (فارسی)

استفاده قرار گرفت. آزمایش‌ها روی نمونه‌های مکعبی از این جنس و به ابعاد  $10 \times 10 \times 10$  میلی‌متر با وجود سنگ خورده انجام گرفت. ابزار به کار رفته در آزمایش‌ها، فرز انگشتی سرتخت سه لبه از جنس کاربید تنگستن با پوشش TiAlN به قطر  $5/\text{میلی‌متر}$ ، زاویه مارپیچ  $30^\circ$  درجه و شعاع نوک ابزار  $4\text{ }\mu\text{m}$  میکرومتر ساخت شرکت همتولز<sup>۱</sup> بود. تمامی آزمایش‌ها روی ماشین فرز CNC چهار محور کنترل همزمان مایکرون<sup>۲</sup> مدل UCP710 با حداکثر دور اسپیندل ۴۰۰۰ دور بر دقیقه انجام شد. تصویر مربوط به تجهیزات آزمایش‌های میکروفرز کاری در شکل ۱ آمده است.

روغن برشی مورد استفاده در حالت‌های روان کاری و خنک کاری تر و MQL، روغن بهران برشی<sup>۳</sup> ۱۱ با گرانوی<sup>۴</sup> ۲۴ سانتی استوکس در  $40^\circ$  درجه سانتی‌گراد، نقطه اشتعال ۱۷۰ درجه سانتی‌گراد و چگالی<sup>۵</sup> ۸۷۰ کیلوگرم بر متر مکعب در  $15^\circ$  درجه سانتی‌گراد بود. سیستم روان کاری با دو نازل و با زاویه  $30^\circ$  درجه نسبت به ابزار قرار گرفته بود. دبی جریان نیز  $۲۴۰\text{ }\mu\text{l}/\text{یوت}$  بر ساعت و فشار  $6\text{ }\text{bar}$  بود.

در ادامه، آزمایش‌های فرز کاری با استفاده از روش طراحی آزمایش تاگوچی طرح‌ریزی شدند. سه پارامتر ماشین کاری شامل سرعت دوران اسپیندل ( $n$ )، پیشروی بر دندانه ( $f_z$ ) و عمق برش محوری ( $a_p$ ) در  $3^\circ$  سطح تغییر داده شدند. در جدول ۱، پارامترهای ماشین کاری، تعداد سطوح و مقادیر آن‌ها آمده است. آزمایش‌ها در حالت فرز کاری موفق و در سه حالت روان کاری و خنک کاری خشک، تر و MQL انجام شدند. تعداد ۹ آزمایش از این طرح آزمایش بددست آمد که با فرض سه حالت روان کاری و خنک کاری، جمیعاً ۲۷ آزمایش تجربی در این تحقیق انجام گرفت.

زیری سطح نمونه‌های ماشین کاری شده با استفاده از دستگاه زیری‌ستج مار مدل ام<sup>۶</sup><sup>۷</sup> با طول کورس  $5/6$  میلی‌متر اندازه‌گیری شد. برای تعیین زیری سطح هر نمونه، زیری‌ستنجی در  $3^\circ$  مرتبه و در محل‌های مختلف مربوط به هر آزمایش، انجام و میانگین به عنوان زیری سطح متوسط ( $R_a$ ) ارائه گردید.



شکل ۱ تجهیزات آزمایش‌های میکروفرز کاری

جدول ۱ پارامترهای مورد آزمایش و سطوح آن‌ها

پارامترهای ماشین کاری			سطح
۳	۲	۱	
۱۰۰	۶۰	۲۰	$a_p\text{ }(\mu\text{m})$
۰/۸	۰/۵	۰/۲	$f_z\text{ }(\mu\text{m/tooth})$
۳۰۰۰	۲۰۰۰	۱۰۰۰	$n\text{ (rpm)}$
دوران اسپیندل			

4. HAMTools  
5. Mikron  
6. Mahr-Perthometer M2

است. بدليل وجود نقش تأثیر اندازه در فیزیک فرآیند، دانش و تجربه موجود در فرآیندهای ماکروماشین کاری را نمی‌توان مستقیماً به کار گرفت. از این‌رو تحقیقاتی در زمینه‌های مختلف جهت تعیین ارتباط بین پارامترهای ماشین کاری و خروجی‌های آن نظری سلامت سطح در دست انجام است [۲-۴].

از سوی دیگر، انتخاب صحیح سیال برشی در عین اثرگذاری بر کاهش اصطکاک و گرمای محیط ماشین کاری، روی دقت و سلامت سطح تولیدی نیز نقش مهمی را ایفا می‌کند. تأثیر روان کاری در عملیات ماشین کاری، به شدت وابسته به انتخاب نوع سیال روان کار و سیستم پاشش آن بر محیط برش است. انواع روش‌های روان کاری که امروزه برای ماشین کاری مواد مختلف گرفته می‌شوند شامل سیستم‌های خشک<sup>۱</sup>، تر<sup>۲</sup>، حداقل سیال برشی<sup>۳</sup> و روش‌های برودتی می‌باشند [۵].

صنعت تیتانیوم از اوخر دهه ۱۹۴۰ به سرعت پیشرفت کرد که دلیل عدمی آن نیاز صنعت هواپیما بود. انگیزه اصلی این رشد، سبکی تیتانیوم است، به طوری که بیشترین نسبت استحکام به وزن مخصوص در طراحی مواد، مربوط به تیتانیوم و آبیازهای آن می‌باشد. کاربرد دیگر این آبیازها، در ایمپلنت‌های پزشکی است که دلیل این امر، مقاومت به خودگی استثنایی آن‌ها می‌باشد. اما از سوی دیگر، قابلیت هدایت حرارتی آبیازهای پایه تیتانیوم،  $3\text{ }8$  برابر کمتر از فولاد است، که این امر حرارت بسیار زیادی را در موضع ماشین کاری ایجاد می‌کند. همچنین این آبیازها بسیار داکتیل بوده و در حین ماشین کاری به راحتی دچار کارسختی می‌شوند. این امر کاهش سلامت سطحی قطعات تولیدی را در پی خواهد داشت [۶-۸].

در همین راستا بیرون [۹]، در آزمایش تجربی تشکیل پلیسه در میکروشیارتراسی فولاد زنگ نزن  $5\text{CrNi}18-10$  X5CrNi18-10 توسط ابزار کارباید دو پره با قطر  $5/\text{میلی‌متر}$  را بررسی کرد و نشان داد که هندسه ابزار، استراتژی ماشین کاری، سرعت‌های پیشروی و برشی و نوع روان کاری روی تشکیل پلیسه تأثیرگذار است.

انجی و همکارانش [۱۰] به مطالعه تجربی میکروفرز کاری پرداخته و گزارش کرده‌ند که زیری سطح در ضخامت‌های براوه تراشیده بزرگتر از شعاع لبه، افزایش می‌یابد. این می‌تواند به علت تأثیر فرآیند سخن زنی باشد. فرآیند سخن زنی موجب کنار زدن مواد به کناره و جلوی ابزار شده و سطحی خشن‌تر در مقایسه با عملیات برش ایجاد می‌کند.

تاکنون کارهای تحقیقاتی اندکی در زمینه میکروفرز کاری آبیاز Ti6Al4V گزارش شده است. بنابراین نیاز است تا اطلاعات تکنولوژیکی برای فرآیند میکروفرز کاری این آبیاز پراهمیت توسعه داده شود. از این‌رو در تحقیق حاضر، زیری سطح آبیاز Ti6Al4V در فرآیند میکروفرز کاری به صورت تجربی مورد مطالعه قرار گرفت. طرح آزمایش تاگوچی با سه پارامتر سرعت اسپیندل، پیشروی و عمق برش محوری، در سه سطح و با استفاده از سه نوع سیستم روان کاری و خنک کاری مختلف شامل سیستم‌های خشک، تر و MQL انتخاب شد. در نهایت شرایط بهینه ماشین کاری براساس معیار حداقل زیری سطح استخراج شدند.

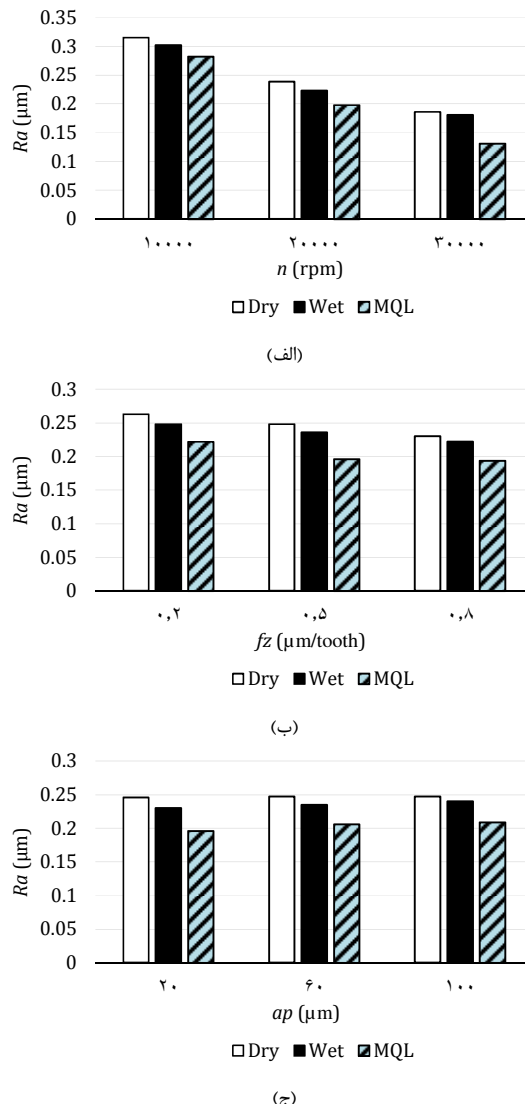
## ۲- تجهیزات و روش انجام آزمایش

در این تحقیق آبیاز تیتانیوم Ti6Al4V آنیل شده با سختی HV ۳۰۰ مورد

1. Dry  
2. Wet  
3. Minimum Quantity Lubrication (MQL)

همچنین در شکل ۲ مشاهده می شود که سیستم MQL و حالت خشک، به ترتیب دارای بهترین و بدترین صافی سطح می باشند. کاهش زیری در حالت روان کاری و خنک کاری تر در فرزکاری معمولی، بدلیل خنک کاری بهتر آن امری بدبیه است [۱۲]. ولی نتایج زیری بدست آمده از فرآیند میکروفرزکاری در این تحقیق بیانگر برتری ناچیز حالت تر نسبت به حالت خشک می باشد. دلیل این امر را می توان کوچک بودن قطر ابزار و کم بودن حجم باربرداری در مقیاس میکرو دانست که موجب کاهش گرمای تولیدی حین فرآیند و کمرنگ تر شدن اثر خنک کنندگی سیال برشی می شود [۱۴, ۱۳].

همان طور که قبلاً بیان شد، استفاده از سیستم MQL در فرآیند میکرو فرزکاری این آلیاز با این شرایط آزمایش، دارای کمترین زیری بود. علت این امر، موثر بودن فشار پاشش روغن به علت کوچک بودن منطقه برش و روان کاری و خنک کاری موثر تر آن در مقایسه با دو حالت خشک و تر می باشد. این برتری خصوصاً در سرعت های برشی بالا چشمگیرتر است.



شکل ۲ تغییرات زیری سطح با (الف) دوران اسپیندل (ب) نزخ پیشروی (ج) عمق برش محوری، تحت شرایط روان کاری و خنک کاری مختلف

### ۳- نتایج و بحث

در این بخش ابتدا تأثیر پارامترهای برشی مختلف نظیر سرعت اسپیندل، پیشروی و عمق برش محوری، ارزیابی شده و پس از آن، نقش سیستم های روان کاری و خنک کاری اعم از حالت های خشک، تر و MQL روی زیری مورد ارزیابی قرار می گیرند. جدول ۲ مقدار پارامترهای برش را به همراه عدد زیری اندازه گیری شده در هر آزمایش نشان می دهد. بیشترین مقدار زیری ۰.۳۳۴ میکرومتر مربوط به شرایط خشک و در سرعت دورانی ۱۰۰۰۰ دور بر دقیقه، پیشروی ۰/۲ میکرومتر بر لبه بردنه و عمق برش ۲۰ میکرومتر بود. کمترین میزان زیری نیز برابر با ۰/۱۱۸ میکرومتر و در سیستم MQL، سرعت دورانی ۳۰۰۰۰ دور بر دقیقه، پیشروی ۰/۸ میکرومتر بر لبه بردنه و عمق برش ۶۰ میکرومتر حاصل شد.

شکل ۲ تأثیر پارامترهای ماشین کاری بر زیری سطح قطعات میکروفرزکاری شده را نشان می دهد. سرعت دوران اسپیندل با ضریب تأثیر ۰/۶۹٪ در شرایط خشک، ۰/۶۶٪ در شرایط روان کاری و خنک کاری تر و ۰/۱۵٪ در سیستم MQL، بیشترین تأثیر را بر زیری سطح آلیاز Ti6Al4V در فرآیند میکروفرزکاری داشت. دلیل این امر را می توان آسان تر شدن تعییر شکل پلاستیک ماده، افت تنش سیلان و کاهش اصطکاک در سطوح تماس به افزایش درجه حرارت دانست. علاوه بر این، افزایش سرعت برشی با کاهش احتمال تشکیل لبه انبیا شده موجب بهبود صافی سطح می گردد.

با افزایش پیشروی نیز زیری سطح کاهش یافت. دلیل این پدیده را می توان کاهش اثر اندازه در پیشروی های بالاتر دانست. در واقع، وقتی ضخامت براده نتراسیده در مقایسه با شاعع نوک ابزار خیلی کوچک باشد، اثرات اندازه و نیروهای سخمنزی چشمگیرتر خواهد بود. پدیده سخمنزی در ضخامت براده نتراسیده کوچک تر (پیشروی کمتر)، حاکم بر مکانیزم برش بوده و منجر به جریان پلاستیک غیر یکنواخت ماده و زیری بیشتر آن می گردد. از سوی دیگر در فرآیند میکروفرزکاری و در مقایسه میکرو، ناهمنگ بودن خواص قطعه کار، تعییرات سختی ماده و نیز کوچک بودن مدول خمشی ابزار، موجب بروز ارتعاشات بیشتر در مقایسه با فرزکاری معمولی می شود. معمولاً این اثرات در پیشروی و سرعت های برشی پایین تر بر جسته تر بوده و منجر به زیری سطح بیشتر می گردد [۱۱]. ضریب تأثیر سرعت پیشروی بر زیری سطح نیز در شرایط خشک ۰/۱۴٪ در حالت تر ۰/۱۱٪ و در سیستم MQL ۰/۱۴٪ در شرایط روان کاری و خنک کاری تر و ۰/۱۷٪ در شرایط خشک. اثر ناچیزی روی زیری سطح نمونه های میکرو فرزکاری داشت.

جدول ۲ نتایج زیری سنجی به همراه شرایط ماشین کاری

شماره آزمایش	پارامترها و سطوح					
	MQL	Wet	Dry	$a_p$ (μm)	$f_z$ (μm/tooth)	n (rpm)
۱	۰/۲۸۸	۰/۲۱۱	۰/۳۳۴	۲۰	۰/۲	۱۰۰۰۰
۲	۰/۲۷۴	۰/۲۰۲	۰/۳۱۶	۶۰	۰/۵	۱۰۰۰۰
۳	۰/۲۸۵	۰/۲۹۲	۰/۲۹۵	۱۰۰	۰/۸	۱۰۰۰۰
۴	۰/۲۲۶	۰/۲۳۴	۰/۲۵۲	۶۰	۰/۲	۲۰۰۰۰
۵	۰/۱۹۱	۰/۲۳۱	۰/۲۴۴	۱۰۰	۰/۵	۲۰۰۰۰
۶	۰/۱۷۸	۰/۲۰۳	۰/۲۲۱	۲۰	۰/۸	۲۰۰۰۰
۷	۰/۱۵۲	۰/۱۹۸	۰/۲۰۲	۱۰۰	۰/۲	۳۰۰۰۰
۸	۰/۱۲۳	۰/۱۷۵	۰/۱۸۳	۲۰	۰/۵	۳۰۰۰۰
۹	۰/۱۱۸	۰/۱۷۰	۰/۱۷۴	۶۰	۰/۸	۳۰۰۰۰

*Journal of Materials Processing Technology*, Vol. 211, No. 4, pp. 737-749, 2011.

- [14] S. Basturk, F. Senbaoglu, C. Islam, M. Erten, I. Lazoglu, T. Gulmez, Titanium machining with new plasma boronized cutting tools, *CIRP Annals-Manufacturing Technology*, Vol. 59, No. 1, pp. 101-104, 2010.

#### ۴- نتیجه‌گیری

رسانایی حرارتی کم تیتانیوم مانع از انتقال موثر حرارت تولیدی حین ماشین کاری از طریق قطعه کار و براده می‌شود، از این‌رو حرارت تولیدی باستی از طریق ابزار و سیال برشی منتقل گردد. انتخاب محیط ماشین کاری و شرایط برش از مهم‌ترین فاکتورهای بهبود سلامت سطح در فرآیند میکروفرز کاری می‌باشد و در این تحقیق اثرات این پارامترها در قالب سرعت برشی، پیشروی و عمق برش محوری در حضور سه نوع سیستم روان کاری و خنک کاری خشک، تر و MQL بر زیری سطح ماشین کاری شده‌ی آلیاز Ti6Al4V مورد ارزیابی قرار گرفته است. خلاصه نتایج بدست آمده به صورت زیر می‌باشد:

- (۱) در بین پارامترهای برشی، سرعت برشی به عنوان موثرترین پارامتر روی زیری سطح آلیاز تیتانیوم Ti6Al4V تشخیص داده شد. افزایش سرعت برشی به دلیل آسان‌تر شدن تغییر شکل پلاستیک ماده، افت تن سیلان، کاهش اصطکاک بین ابزار و قطعه و همچنین کاهش احتمال تشکیل لبه انباشته باعث بهبود صافی سطح شد.
- (۲) مستقل از نوع روان کار و خنک کار، زیری سطح با افزایش سرعت برشی و پیشروی و نیز کاهش عمق برش محوری بهبود پیدا کرده است.
- (۳) زیری سطح بدست آمده در حضور حداقل سیال برشی (MQL) به دلیل موثر بودن فشار پاشش روغن همواره بهتر از شرایط خشک و یا تر بوده است و این تأثیر در سرعت‌های برشی بالا برجسته‌تر است.
- (۴) مینیمم زیری سطح بدست آمده برابر با  $Ra = 118 \text{ nm}$  بوده و در شرایط سرعت دورانی  $30000$  دور بر دقیقه، پیشروی  $8/\text{m}$  میکرومتر بر لبه برند و عمق برش  $60 \mu\text{m}$  میکرومتر حاصل شده است.

#### ۵- مراجع

- [1] M. P. Vogler, S. G. Kapoor, R. E. DeVor, On the modeling and analysis of machining performance in micro-endmilling, Part II: Cutting force prediction, *Journal of Manufacturing Science and Engineering*, Vol. 126, No. 4, pp. 695-705, 2004.
- [2] F. Klocke, G. Eisenblätter, Dry cutting, *CIRP Annals-Manufacturing Technology*, Vol. 46, No. 2, pp. 519-526, 1997.
- [3] M. P. Vogler, R. E. DeVor, S. G. Kapoor, On the modeling and analysis of machining performance in micro-endmilling, Part I: Surface generation, *Journal of Manufacturing Science and Engineering*, Vol. 126, No. 4, pp. 685-694, 2004.
- [4] H. Weule, V. Hüntrup, H. Tritschler, Micro-cutting of steel to meet new requirements in miniaturization, *CIRP Annals-Manufacturing Technology*, Vol. 50, No. 1, pp. 61-64, 2001.
- [5] E. Oberg, C. J. McCauley, *Machinery's Handbook & Guide to Machinery's Handbook*: Industrial Press, 2004.
- [6] K. Weinert, V. Petzoldt, Machining NiTi micro-parts by micro-milling, *Materials Science and Engineering: A*, Vol. 481, pp. 672-675, 2008.
- [7] T. Thepsonthi, T. Öznel, Multi-objective process optimization for micro-end milling of Ti-6Al-4V titanium alloy, *The International Journal of Advanced Manufacturing Technology*, Vol. 63, No. 9-12, pp. 903-914, 2012.
- [8] T. Öznel, T. Thepsonthi, D. Ulutan, B. Kaftanoğlu, Experiments and finite element simulations on micro-milling of Ti-6Al-4V alloy with uncoated and cBN coated micro-tools, *CIRP Annals-Manufacturing Technology*, Vol. 60, No. 1, pp. 85-88, 2011.
- [9] D. Biermann, M. Steiner, Analysis of micro burr formation in austenitic stainless steel X5CrNi18-10, *Procedia CIRP*, Vol. 3, pp. 97-102, 2012.
- [10] C. K. Ng, S. N. Melkote, M. Rahman, A. S. Kumar, Experimental study of micro-and nano-scale cutting of aluminum 7075-T6, *International Journal of Machine Tools and Manufacture*, Vol. 46, No. 9, pp. 929-936, 2006.
- [11] G. Zhang, S. Kapoor, Dynamic generation of machined surfaces, part 2: construction of surface topography, *Journal of Manufacturing Science and Engineering*, Vol. 113, No. 2, pp. 145-153, 1991.
- [12] Y. Su, N. He, L. Li, A. Iqbal, M. Xiao, S. Xu, B. Qiu, Refrigerated cooling air cutting of difficult-to-cut materials, *International Journal of Machine Tools and Manufacture*, Vol. 47, No. 6, pp. 927-933, 2007.
- [13] Y. Karpat, Temperature dependent flow softening of titanium alloy Ti6Al4V: An investigation using finite element simulation of machining,